

矢板壁の模型振動実験(第2報)

港湾技術研究所

○荒井秀夫, 吉永敏雄

矢板壁の當時における問題は近年模型実験による研究によつて明らかにされえているが、地震時に壁体、裏込土、地盤、Anchor が相互に影響しあつて當時から如何に変化するか充分明らかにされておらずと思われる。われわれは振動台上載せた Anchor を有する矢板壁模型を振動させ、実験的に構造各部応力の振動時変化を求めようとした。その概略は既に報告したが⁽¹⁾、その後載荷量、地盤剛性を変えて実験を行つたので報告する。対象としている構造物は土の影響が支配的であるが、土の振動性状は不明の点が多い現状においては模型振動実験としての相似律を求めるることは困難である。このため壁体について次のよう考察を行つて模型壁を製作し、土として乾燥砂を使用し、実験条件を変えることによつて、その相違を調べようとした。壁体に対する量並みをすれば、曲げモーメントは次のような函数を表わされる。

$$M = f(\tau, w, p, m, EI, g, H) \quad (1)$$

τ : 振動周期, w : 重量, p : 強度, m : 地盤剛性係数, EI : 曲げ剛性, g : 重力の加速度, H : 壁高。 (1)式に次元解析を各オーバーにそつて次式が得られる。

$$M = EI/H f\left(\frac{T^2 g}{H}, \frac{w/H^2 \cdot H^4/EI}{p/H^2 \cdot H^4/EI}, \frac{p/H^4}{m \cdot H^4/EI}\right) \quad (2)$$

$\frac{p_m/p_p}{(H^4/EI)m/(H^4/EI)p} = 1$ にとれれば、 w と m は相似の条件は次のようになる。

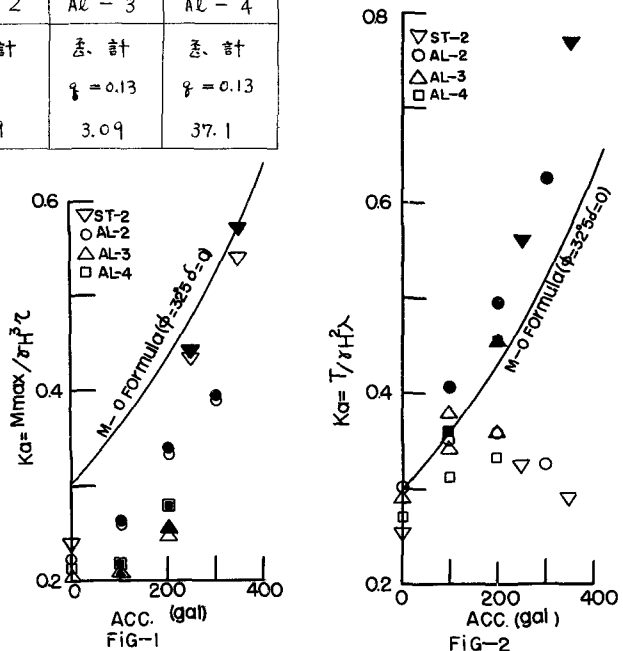
$$\left(\frac{T_m}{T_p}\right)^2 \cdot \left(\frac{H_p}{H_m}\right) = \frac{(w/H^2)_m}{(w/H^2)_p} = \frac{(p/H)_m}{(p/H)_p} = \frac{m_m}{m_p} = \text{const} \quad (3)$$

実験は壁高 110 cm の鋼およびアルミニウム製の壁体、小名浜乾燥砂（均等係数：1.504=

試験番号	ST-2	AL-1	AL-2	AL-3	AL-4
土圧測定器	合計	土圧計	合計	合計	合計
載荷量 ($g = w/H$)	0	0	0	$g = 0.13$	$g = 0.13$
(m) 振動前 (kg/cm^3)	47.1	—	61.9	3.09	37.1

$0.185mm/0.125mm$, 安息角: 32.5°) を用い、周期 0.3 秒、振巾が 1 周期毎に約 1 gal 上昇する振動を与えた。主な試験條件を上表に示す。

prototype と $L \times H = 20m$ の Z 型矢板を参考すると、(3)式において AL-model では $\frac{p_m/p_p}{(H^4/EI)m/(H^4/EI)p} = 1.25$, ST-model では $\frac{p_m/p_p}{(H^4/EI)m/(H^4/EI)p} = 0.98$ となり、又第 1 項から $T_m = 0.3sec$ に対し $T_p = 1.28sec$ に相当する。第 2 項は AL-model では $(w/H^2)_m/(w/H^2)_p = 1.16$ であるが、ST-model では $(w/H^2)_m/(w/H^2)_p = 2.42$ であつて極めて大きい。第 3, 4 項は砂



に關係して種々の條件の影響を受け易く、あらかじめ決定することは困難である故、実験によつて検討する。従つて本実験は限られ在一部の條件の下で行つた実験である。以下に実験結果の概要を述べる。測定値は Anchor load を除いて一般に加速度とともに増加する静的的部分の変化が支配的である。これは振動周期が一定であるため振動特性が求められることにもよるが、壁体の慣性力が土圧に比して $1/100$ 程度である、壁体および地盤の海側方向の変形が大きいために原因するものと考えられる。測定結果を図に示すが、各試験毎に載荷量、地盤剛性が相違する故、比較に便利のため P. W. Rowe の理論⁽²⁾を用いて二通りの影響を除き、土圧係数の形を示した。(図中の黒印は台の海側、白印は陸側に変位した状態の值を示す。)

最大曲げモーメント (FIG-1)

一般に物部一因部公算値より $20\sim30\%$ 強い値を示し、壁体の変形による土圧の再分配の効果を表わしている。壁体重量の大きさと model では高加速度が増加するが、これは壁体慣性力によつて筋が受けける擾乱が大きくなるからと考えられる。

Anchor load (FIG-2)

振動部分が大きくなり、山の部分は物部一因部公算値を越えて大きな値である。主として土圧が Anchor 並進において増大するものとされるものと考えられる。

土圧 (FIG-3)

一般に物部一因部公算値より $20\sim30\%$ 強いが、作用点は分布形から考えるとより上にかなり高い。物部一因部公算値を越えてるのは壁体重量の大きい場合である。

地盤剛性係数 (FIG-4)

地盤剛性係数は相対密度、壁体の変形の影響を受けて、Rowe は従来が $0.9\sim12.8 \text{ kg/cm}^2$ とされてきたが、本実験では表に見られるように極めて大きく、特殊な場合である。壁体変形量として地盤面における回転角 θ_d を用いて m の関係を求めると、 m は θ_d の $3/2\sim-2$ 束に比例する。Rowe⁽³⁾ によれば常時ひずみが $-1/2$ 束に比例するから、振動を与えることによって著しく減少することを示してある。

(1) 荒井・吉永：矢板壁の模型振動実験（第1報）
(地震工学国内シンポジウム)

(2) P. W. Rowe : A Theoretical & Experimental Analysis of Sheet-Pile Walls

(3) P. W. Rowe : The Single Pile Subjected to Horizontal force.

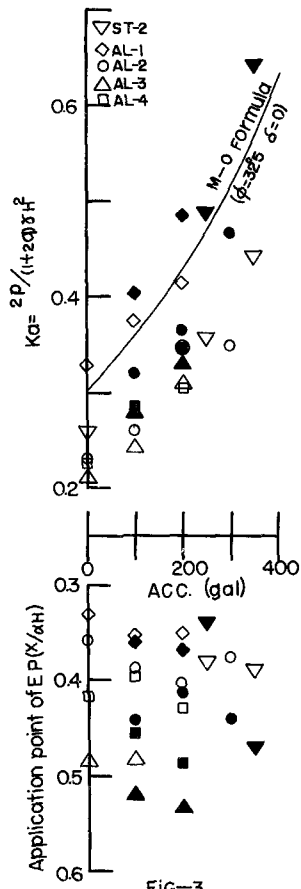


FIG-3

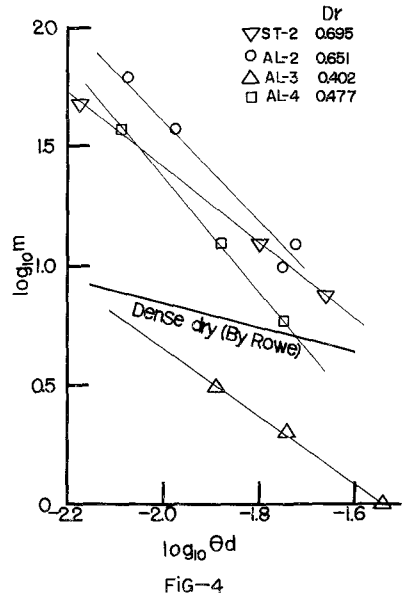


FIG-4